Interazioni Elettrodeboli

prof. Francesco Ragusa Università di Milano

Lezione n. 10

8.11.2022

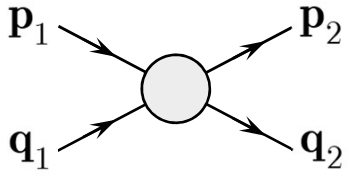
Teoria dello Scattering. Matrice SSviluppo perturbativo della matrice SScattering di Coulomb
Interazione di due particelle cariche

anno accademico 2022-2023

Teoria dello Scattering

- Vogliamo adesso vedere come si può descrivere un processo di scattering
 - Ad esempio lo scattering di 2 elettroni mediato da interazione elettromagnetica

$$e^- + e^- \rightarrow e^- + e^-$$



- Si comincia assumendo che quando le particelle sono molto distanti l'interazione sia trascurabile e quindi esse possano essere descritte da campi liberi
 - In particolare, con $a^\dagger(\mathbf{p})$ è l'operatore di creazione degli elettroni, lo stato iniziale è

$$\left|\left|\mathbf{p}_{1},\mathbf{q}_{1}\right\rangle = a^{\dagger}\left(\mathbf{p}_{1}\right)a^{\dagger}\left(\mathbf{q}_{1}\right)\left|\mathbf{0}\right\rangle$$

- Il punto importante è che lo stato $|\mathbf{p}_1,\mathbf{q}_1>$ contiene tutta la storia delle due particelle libere incidenti (non interagenti, libere)
 - Sia nel passato remoto
 - Sia nel futuro lontano
- Lo stato finale $|\mathbf{p}_2,\mathbf{q}_2>$ non è l'evoluzione libera dello stato $|\mathbf{p}_1,\mathbf{q}_1>$

non interagiscono







è uno stato differente nel passato e nel futuro

Teoria dello Scattering: la Matrice S

ullet Per i motivi appena illustrati lo stato iniziale ullet chiamato stato asintotico $|>_{
m in}$

$$\left|\left|\mathbf{p}_{1},\mathbf{q}_{1}\right\rangle_{\mathrm{in}}\right.=\left.a_{\mathrm{in}}^{\dagger}\left(\left|\mathbf{p}_{1}\right.\right)a_{\mathrm{in}}^{\dagger}\left(\left|\mathbf{q}_{1}\right.\right)\right|\left|\mathbf{0}\right\rangle$$

- ullet Gli stati $|>_{
 m in}$ formano una base completa dello spazio di Hilbert
 - Sono stati di particelle non interagenti
 - Sono "etichettati" indicando i momenti delle particelle nel passato remoto
- Nel passaggio dal passato al futuro le particelle interagiscono e il futuro dello stato che interagisce cambia
 - Nel futuro l'interazione può portare a stati liberi diversi da quello iniziale
- Nel 1943 Heisenberg formulò una teoria dello scattering introducendo un operatore nello spazio di Hilbert: la Matrice S
- \bullet La matrice S trasforma lo stato asintotico iniziale nello stato finale

$$S\left|\mathbf{p}_{1},\mathbf{q}_{1}\right\rangle_{\mathrm{in}}$$

- Questo stato rappresenta la sovrapposizione di tutti i possibili stati finali (liberi) in cui lo stato iniziale si può trasformare per effetto dell'interazione
- Lo stato finale, sovrapposizione di tutte le possibilità, deve avere norma 1

$$_{\mathrm{in}}\langle\mathbf{p}_{1},\mathbf{q}_{1}|S^{\dagger}S|\mathbf{p}_{1},\mathbf{q}_{1}\rangle_{\mathrm{in}}=1 \hspace{0.2in} \left|S^{\dagger}S=1\right|$$

$$S^{\dagger}S = 1$$

La matrice S è unitaria

Teoria dello Scattering

- Noi siamo interessati al seguente problema
 - Dato lo stato iniziale $|i>_{
 m in}=|{
 m p}_1,{
 m q}_1>_{
 m in}$
 - Calcolare la probabilità di avere uno stato finale $|f\!\!>_{
 m in}=|{
 m p}_2,\!{
 m q}_2\!\!>_{
 m in}$
- ullet Stato finale: sono particelle libere che nel futuro hanno momenti \mathbf{p}_2 e \mathbf{q}_2
- Nel passato $|{
 m p_2,q_2}>_{
 m in}$ rappresenta particelle libere con i momenti indicati
- Lo stato $|p_2,q_2>_{\rm in}$ nel futuro rappresenterà ancora uno stato di particelle libere con i momenti indicati (evoluzione di particelle libere)
- Osserviamo che:
 - Se facciamo variare $|i>_{
 m in}$ fra tutti gli stati della base allora gli stati $S|i>_{
 m in}$ costituiscono un'altra base
 - ullet Ciò è conseguenza della unitarietà della Matrice S
- Anche gli stati $S|i>_{
 m in}$ sono stati di particelle libere
 - La matrice S collega stati asintotici ottenuti per $t o -\infty$ e $t o +\infty$
 - ullet Non considera esplicitamente i dettagli dell'interazione posta a t=0
- In conclusione la probabilità cercata è

$$\left|\wp = \left| {_{\mathrm{in}} \left\langle \mathbf{p}_{2}, \mathbf{q}_{2} \mid S \mid \mathbf{p}_{1}, \mathbf{q}_{1} \right\rangle_{\mathrm{in}} } \right|^{2} \right|$$

$$\wp = \left| {_{\mathrm{in}}} \langle f \mid S \mid i \rangle_{\mathrm{in}} \right|^2 = \left| S_{fi} \right|^2$$

Rappresentazione d'Interazione

- Quando si introducono le interazioni non si può più usare la rappresentazione di Heisenberg perché non si conoscono soluzioni esatte delle equazioni di campo
 - In particolare non si sa calcolare l'effetto dell'operatore di evoluzione

$$\exp\left[-i\widehat{H}\left(t-t_{o}
ight)
ight]$$

 $\exp \left[-i\widehat{H}(t-t_o)
ight]$ H è l'Hamiltoniano completo

ullet Consideriamo di nuovo l'equazione di Schrödinger (H_o è l'Hamiltoniano libero)

$$\widehat{H}\psi_{S}(\mathbf{r},t) = i\frac{\partial}{\partial t}\psi_{S}(\mathbf{r},t)$$
 $\widehat{H} = \widehat{H}_{o} + \widehat{H}'$

- Definiamo, tramite l'operatore di evoluzione libero ($m{t_o} = m{0}$) $\psi_I = e^{iH_ot}\psi_S$
 - Sostituendo nell'equazione di Schrödinger

• Sostituendo nell'equazione di Schrödinger
$$\psi_S = e^{-i\widehat{H}_o t}\psi_I$$
 $\widehat{H}e^{-i\widehat{H}_o t}\psi_I = irac{\partial}{\partial t}ig(e^{-i\widehat{H}_o t}\psi_Iig) \qquad \left(\widehat{H}_o + \widehat{H}'ig)e^{-i\widehat{H}_o t}\psi_I = \widehat{H}_o e^{-i\widehat{H}_o t}\psi_I + ie^{-i\widehat{H}_o t}rac{\partial}{\partial t}\psi_I$

• Moltiplichiamo a sinistra per $\exp[i m{H}_0 t]$ e poniamo $\widehat{H}_I' = e^{i \widehat{H}_o t} \widehat{H}' e^{-i \widehat{H}_o t}$

$$\widehat{H}_I'\psi_I = i\frac{\partial}{\partial t}\psi_I$$

 Pertanto nella rappresentazione d'interazione l'equazione di evoluzione della funzione d'onda è determinata solo da $H^\prime{}_I$

Calcolo della Matrice S

- ullet Troviamo una soluzione formale per ψ_I
 - Integrando l'equazione

$$i \frac{\partial}{\partial t} \psi_I = \widehat{H}_I' \psi_I$$

$$\int_{-\infty}^{t} \frac{\partial}{\partial t} \psi_{I} dt = \psi_{I}(t) - \psi_{I}(-\infty) = -i \int_{-\infty}^{t} \widehat{H}'_{I} \psi_{I}(t_{1}) dt_{1}$$

$$\psi_{I}(t) = \psi_{I}(-\infty) - i \int_{-\infty}^{t} \widehat{H}'_{I} \psi_{I}(t_{1}) dt_{1}$$

• Lo stato $\psi_I(-\infty)$ non è nient'altro che $|i>_{ ext{in}}$ introdotto precedentemente

$$\psi_{I}(t) = |i\rangle_{\text{in}} - i \int_{-\infty}^{t} \widehat{H}'_{I} \psi_{I}(t_{1}) dt_{1}$$

- L'equazione può essere risolta iterativamente
 - ullet Primo ordine, approssimando $\psi_I(t)pprox|i>_{
 m in}$ nell'integrando

$$\psi_{I}(t) = |i\rangle_{\text{in}} + \int_{-\infty}^{t} [-i\widehat{H}_{I}'(t_{1})]|i\rangle_{\text{in}} dt_{1}$$

• Secondo ordine: approssimando nell'integrando $\psi_I(t)$ con la $\psi_I(t)$ del primo ordine

$$\begin{split} \psi_{I}\left(t\right) &= \left|i\right\rangle_{\mathrm{in}} + \int_{-\infty}^{t} \left[-i\widehat{H}_{I}^{\prime}\left(t_{1}\right)\right] \left|i\right\rangle_{\mathrm{in}} dt_{1} \\ &+ \int_{-\infty}^{t} dt_{1} \int_{-\infty}^{t_{1}} \left[-i\widehat{H}_{I}^{\prime}\left(t_{1}\right)\right] \left[-i\widehat{H}_{I}^{\prime}\left(t_{2}\right)\right] \left|i\right\rangle_{\mathrm{in}} dt_{2} \end{split}$$

Calcolo della Matrice S

· Sommando la serie formalmente

$$\psi_{I}(t) = \sum_{n=0}^{\infty} (-i)^{n} \int_{-\infty}^{t} dt_{1} \int_{-\infty}^{t_{1}} dt_{2} \dots \int_{-\infty}^{t_{n-1}} dt_{n} \left[H_{I}'(t_{1}) H_{I}'(t_{2}) \dots H_{I}'(t_{n}) \right] |i\rangle_{\text{in}}$$

- Ricordiamo che per $t o +\infty$ abbiamo definito $\psi_I(\infty) = S|i>_{ ext{in}}$
- ullet Per confronto troviamo un'espressione per la matrice S

$$\hat{S} = \sum_{n=0}^{\infty} (-i)^n \int_{-\infty}^{\infty} dt_1 \int_{-\infty}^{t_1} dt_2 \dots \int_{-\infty}^{t_2} dt_n \left[\hat{H}_I'(t_1) \hat{H}_I'(t_2) \dots \hat{H}_I'(t_n) \right]$$

- Nella formula abbiamo ribadito la natura operatoriale delle grandezze
- Osserviamo che i tempi sono ordinati: $t_1>t_2>\ldots>t_n$
- ullet Definiamo l'operatore di ordinamento cronologico T

$$T[\hat{A}(t_1)\hat{A}(t_2)] = \begin{cases} \hat{A}(t_1)\hat{A}(t_2) & t_1 > t_2 \\ \hat{A}(t_2)\hat{A}(t_1) & t_2 > t_1 \end{cases}$$

• Si dimostra che si possono estendere tutti gli integrali a $+\infty$ e si ottiene la serie di Dyson

$$\hat{S} = \sum_{n=0}^{\infty} \frac{(-i)^n}{n!} \int dt_1 \int dt_2 \dots \int dt_n T \left[\hat{H}'_I(t_1) \hat{H}'_I(t_2) \dots \hat{H}'_I(t_n) \right]$$

Sviluppo perturbativo

• Isoliamo il contributo n=0

$$\hat{S} = \hat{1} + \sum_{n=1}^{\infty} \frac{(-i)^n}{n!} \int dt_1 \int dt_2 \dots \int dt_n T \left[\hat{H}'_I(t_1) \hat{H}'_I(t_2) \dots \hat{H}'_I(t_n) \right]$$

- ullet Notiamo che la matrice S contiene un termine 1 che tiene conto del fatto che le particelle possono anche non interagire
- Si dimostra che gli operatori H'_I sono esprimibili in funzione dei campi liberi $\,\hat{\psi}_I$
- Per il calcolo delle sezioni d'urto o delle larghezze di decadimento occorre calcolare elementi di matrice fra stato iniziale e finale

$$\left\langle f\mid\hat{S}\mid i
ight
angle \equiv S_{fi}\,=\,\delta_{fi}\,+\,\mathcal{A}_{fi}\,=\,\delta_{fi}\,+\left\langle f\mid\hat{A}\mid i
ight
angle$$

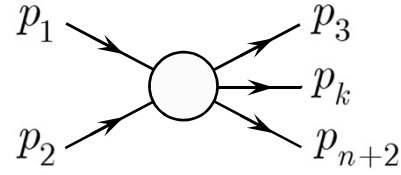
- Abbiamo implicitamente definito l'ampiezza di transizione \mathcal{A}_{fi}
- Vedremo che l'ampiezza $\mathcal{A}_{\it fi}$ contiene a sua volta una funzione $\delta(p_i-p_{\it f})$ 4-dimensionale che esprime la conservazione dell'energia e della quantità di moto
 - Si preferisce fattorizzare anche questo aspetto con una ulteriore matrice

$$\mathcal{A}_{fi} = (2\pi)^4 \, \delta ig(p_i - p_f ig) \mathfrak{M}_{fi}$$

Sezione d'urto e vita media

- Nella Fisica delle Particelle Elementari si studiano sostanzialmente due fenomeni
 - La diffusione (scattering) di due particelle \rightarrow sezione d'urto
 - Proiettile Bersaglio

Fasci in collisione



- Il decadimento di una particella ightarrow larghezza di decadimento
 - Vita media

- Larghezza di decadimento $\rightarrow \Gamma = 1/\tau$ $P \longrightarrow p_k$
- Entrambi i processi vengono descritti per mezzo dell'ampiezza invariante di transizione M

$$d\sigma = \frac{|\mathfrak{M}|^2}{4\sqrt{(p_1\cdot p_2)^2-m_1^2m_2^2}}d\Phi_n\left(p_1+p_2;p_3,...,p_{n+2}\right)$$

$$\Gamma = \frac{|\mathfrak{M}|^2}{2M}d\Phi_n\left(P;p_1,...,p_n\right)$$
 Spazio delle Fasi

Scattering di Coulomb per particella di spin O

- Calcoliamo ancora una volta la sezione d'urto per la diffusione Coulombiana
 - Questa volta utilizzando la teoria quantistica dei campi
- · La lagrangiana del campo complesso di Klein Gordon è

$$\widehat{\mathcal{L}}_0 = \left(\partial^{\mu}\widehat{\phi}\right)^{\dagger} \left(\partial_{\mu}\widehat{\phi}\right) - m^2\widehat{\phi}^{\dagger}\widehat{\phi}$$

• L'introduzione dell'interazione elettromagnetica porta al termine di interazione (confrontare con la slide 93)

$$\widehat{\mathcal{L}}' = -ie \Big[\widehat{\phi}^\dagger \left(\partial^\mu \widehat{\phi} \right) - \left(\partial^\mu \widehat{\phi}^\dagger \right) \widehat{\phi} \, \Big] A_\mu \, + \, e^2 A^\mu A_\mu \widehat{\phi}^\dagger \widehat{\phi}$$

- Nel seguito faremo un calcolo perturbativo al primo ordine e quindi trascuriamo il termine proporzionale a e^2
- Abbiamo bisogno l'Hamiltoniana di interazione
 - ullet Trascurando il termine e^2 , nonostante \mathcal{L}' contenga derivate di ϕ , si trova 1

$$\widehat{\mathcal{H}} = \sum_{i} \frac{\partial \widehat{\mathcal{L}}}{\partial \left(\partial_{o} \widehat{\phi}_{i} \right)} \partial_{o} \widehat{\phi}_{i} - \widehat{\mathcal{L}} \qquad \widehat{\mathcal{H}}' = ie \Big[\widehat{\phi}^{\dagger} \left(\partial^{\mu} \widehat{\phi} \right) - \left(\partial^{\mu} \widehat{\phi}^{\dagger} \right) \widehat{\phi} \Big] A_{\mu} \qquad \qquad \widehat{\mathcal{H}}' = -\widehat{\mathcal{L}}'$$

In definitiva

$$\widehat{\mathcal{H}}' = \widehat{j}^{\,\mu} A_{\!\mu} \qquad \widehat{j}^{\,\mu} = ie \Big[\widehat{\phi}^{\,\dagger} \left(\partial^{\mu} \widehat{\phi} \right) - \left(\partial^{\mu} \widehat{\phi}^{\,\dagger} \right) \widehat{\phi} \, \Big] \qquad \widehat{H}' \big(\, t \, \big) = \int \widehat{\mathcal{H}}' \big(\, x \, \big) d^3 \mathbf{r}$$

• 1 Vedi Aitchison vol.1 § 7.4 (sezione dedicata al campo di Klein-Gordon)

L'elemento di Matrice S

- L'elemento di Matrice che vogliamo calcolare è S_{if} = < $f \mid S \mid i >$
 - Ricordiamo lo sviluppo

$$\widehat{S} = \widehat{1} + \sum_{n=1}^{\infty} \frac{\left(-i\right)^n}{n!} \int_{-\infty}^{\infty} dt_1 \int_{-\infty}^{\infty} dt_2 \dots \int_{-\infty}^{\infty} dt_n T \left[\widehat{H}_I'\left(t_1\right) \widehat{H}_I'\left(t_2\right) \dots \widehat{H}_I'\left(t_n\right)\right]$$
 potenziale dato non è quantizzato

• Approssimando al primo ordine $(i \neq f)$

$$\begin{split} S_{if} &\approx \left\langle i \mid \widehat{1} \mid f \right\rangle - i \left\langle f \mid \int \widehat{H}_{I}'\left(t\right) dt \mid i \right\rangle = \delta_{if} - i \left\langle f \mid \int \widehat{H}_{I}'\left(x\right) d^{4}x \mid i \right\rangle \\ &= -i \int \left\langle f \mid \widehat{j}^{\,\mu}\left(x\right) A_{\mu}\left(x\right) \mid i \right\rangle d^{4}x = -i \int \left\langle f \mid \widehat{j}^{\,\mu}\left(x\right) \mid i \right\rangle A_{\mu}\left(x\right) d^{4}x \end{split}$$

Calcoliamo l'elemento di matrice della corrente

$$\widehat{\phi}\left(\mathbf{r},t\right) = \int \frac{d^{3}\mathbf{k}}{\left(2\pi\right)^{3}\sqrt{2E_{\mathbf{k}}}} \Big(\widehat{a}_{\mathbf{k}}e^{-ik\cdot x} + \widehat{b}_{\mathbf{k}}^{\dagger}e^{ik\cdot x}\Big)\Big|_{k_{o} = E_{\mathbf{k}}}$$

$$\left\langle f\mid\widehat{j}^{\,\mu}\left(x\right)\mid i\right\rangle =ie\left\langle f\mid\left[\widehat{\phi}^{\,\dagger}\left(\partial^{\mu}\widehat{\phi}\right)-\left(\partial^{\mu}\widehat{\phi}^{\,\dagger}\right)\widehat{\phi}\right]\mid i\right\rangle$$

$$\left\langle f \mid \widehat{j}^{\,\mu} \, (x) \mid i \right\rangle = ie \int \frac{d^3 \mathbf{k_1}}{(2\pi)^3 \, \sqrt{2E_{\mathbf{k_1}}}} \frac{d^3 \mathbf{k_2}}{(2\pi)^3 \, \sqrt{2E_{\mathbf{k_2}}}} \left\langle f \mid \begin{bmatrix} \left(\widehat{a}^{\dagger}_{\mathbf{k_1}} e^{ik_1 \cdot x} + \widehat{b}_{\mathbf{k_1}} e^{-ik_1 \cdot x}\right) \left(-ik_2^{\,\mu} \widehat{a}_{\mathbf{k_2}} e^{-ik_2 \cdot x} + ik_2^{\,\mu} \widehat{b}^{\dagger}_{\mathbf{k_2}} e^{ik_2 \cdot x}\right) - \\ -\left(ik_1^{\,\mu} \widehat{a}^{\dagger}_{\mathbf{k_1}} e^{ik_1 \cdot x} - ik_1^{\,\mu} \widehat{b}_{\mathbf{k_1}} e^{-ik_1 \cdot x}\right) \left(\widehat{a}_{\mathbf{k_2}} e^{-ik_2 \cdot x} + \widehat{b}^{\dagger}_{\mathbf{k_2}} e^{ik_2 \cdot x}\right) \end{bmatrix} \mid i \right\rangle$$

L'elemento di matrice della corrente j^{μ}

$$\left\langle f \mid \widehat{j}^{\mu} \left(x\right) \mid i \right\rangle = ie \int \frac{d^{3}\mathbf{k_{1}}}{(2\pi)^{3} \sqrt{2E_{\mathbf{k_{1}}}}} \frac{d^{3}\mathbf{k_{2}}}{(2\pi)^{3} \sqrt{2E_{\mathbf{k_{2}}}}} \left\langle f \mid \begin{bmatrix} \left(\widehat{a}_{\mathbf{k_{1}}}^{\dagger} e^{ik_{1} \cdot x} + \widehat{b}_{\mathbf{k_{1}}} e^{-ik_{1} \cdot x}\right) \left(-ik_{2}^{\mu} \widehat{a}_{\mathbf{k_{2}}} e^{-ik_{2} \cdot x} + ik_{2}^{\mu} \widehat{b}_{\mathbf{k_{2}}}^{\dagger} e^{ik_{2} \cdot x}\right) - \\ -\left(ik_{1}^{\mu} \widehat{a}_{\mathbf{k_{1}}}^{\dagger} e^{ik_{1} \cdot x} - ik_{1}^{\mu} \widehat{b}_{\mathbf{k_{1}}} e^{-ik_{1} \cdot x}\right) \left(\widehat{a}_{\mathbf{k_{2}}} e^{-ik_{2} \cdot x} + \widehat{b}_{\mathbf{k_{2}}}^{\dagger} e^{ik_{2} \cdot x}\right) - \\ \bullet \text{ Inseriamo gli stati } | \mathbf{i} > \mathbf{e} \quad | \mathbf{f} > \mathbf{e}$$

 $|i\rangle = \left|\mathbf{p}_{i}\right\rangle = \sqrt{2E_{\mathbf{p}_{i}}}\widehat{a}_{\mathbf{p}_{i}}^{\dagger} \left|0\right\rangle \qquad |f\rangle = \left|\mathbf{p}_{f}\right\rangle = \sqrt{2E_{\mathbf{p}_{f}}}\widehat{a}_{\mathbf{p}_{f}}^{\dagger} \left|0\right\rangle$

• Sviluppiamo i termini nella prima riga (inseriremo alla fine le normalizzazioni)

$$\begin{array}{c|c} \boldsymbol{a} & \left\langle 0 \mid \widehat{a}_{\mathbf{p}_{f}} \left(-ik_{2}^{\mu}e^{-ik_{2}\cdot x}\widehat{a}_{\mathbf{k}_{1}}^{\dagger}\widehat{a}_{\mathbf{k}_{2}}e^{ik_{1}\cdot x} - \underline{ik_{2}^{\mu}e^{-ik_{2}\cdot x}}\widehat{b}_{\mathbf{k}_{1}}\widehat{a}_{\mathbf{k}_{2}}e^{-ik_{1}\cdot x} + \underline{ik_{2}^{\mu}e^{ik_{2}\cdot x}}\widehat{a}_{\mathbf{k}_{1}}^{\dagger}\widehat{b}_{\mathbf{k}_{2}}^{\dagger}e^{ik_{1}\cdot x} + ik_{2}^{\mu}e^{ik_{2}\cdot x}\widehat{b}_{\mathbf{k}_{1}}\widehat{b}_{\mathbf{k}_{2}}^{\dagger}e^{-ik_{1}\cdot x} \right)\widehat{a}_{\mathbf{p}_{i}}^{\dagger} \mid 0 \right\rangle \\ & \qquad \qquad \left\langle 0 \mid \widehat{a}_{\mathbf{p}_{f}} \left(-ik_{2}^{\mu}e^{-ik_{2}\cdot x}\widehat{a}_{\mathbf{k}_{1}}^{\dagger}\widehat{a}_{\mathbf{k}_{2}}e^{ik_{1}\cdot x} + ik_{2}^{\mu}e^{ik_{2}\cdot x}\widehat{b}_{\mathbf{k}_{1}}\widehat{b}_{\mathbf{k}_{2}}^{\dagger}e^{-ik_{1}\cdot x} \right)\widehat{a}_{\mathbf{p}_{i}}^{\dagger} \mid 0 \right\rangle \end{array}$$

• Sviluppiamo i termini nella seconda riga

L'elemento di matrice della corrente j^{μ}

Otteniamo pertanto

$$\langle f \, | \, A \, | \, i \rangle = \left\langle 0 \, | \, \widehat{a}_{\mathbf{p}_f} \left(-ik_2^\mu e^{-ik_2 \cdot x} \widehat{a}_{\mathbf{k}_1}^\dagger \widehat{a}_{\mathbf{k}_2} e^{ik_1 \cdot x} + ik_2^\mu e^{ik_2 \cdot x} \widehat{b}_{\mathbf{k}_1} \widehat{b}_{\mathbf{k}_2}^\dagger e^{-ik_1 \cdot x} \right) \widehat{a}_{\mathbf{p}_i}^\dagger \, | \, 0 \right\rangle - \\ \left\langle 0 \, | \, \widehat{a}_{\mathbf{p}_f} \left(ik_1^\mu e^{ik_1 \cdot x} \widehat{a}_{\mathbf{k}_1}^\dagger \widehat{a}_{\mathbf{k}_2} e^{-ik_2 \cdot x} - ik_1^\mu e^{-ik_1 \cdot x} \widehat{b}_{\mathbf{k}_1} \widehat{b}_{\mathbf{k}_2}^\dagger e^{ik_2 \cdot x} \right) \widehat{a}_{\mathbf{p}_i}^\dagger \, | \, 0 \right\rangle = \\ = -i \left(k_2^\mu + k_1^\mu \right) e^{i(k_1 - k_2) \cdot x} \left\langle 0 \, | \, \widehat{a}_{\mathbf{p}_f} \widehat{a}_{\mathbf{k}_1}^\dagger \widehat{a}_{\mathbf{k}_2} \widehat{a}_{\mathbf{p}_i}^\dagger \, | \, 0 \right\rangle + i \left(k_2^\mu + k_1^\mu \right) e^{i(k_2 - k_1) \cdot x} \left\langle 0 \, | \, \widehat{a}_{\mathbf{p}_f} \widehat{b}_{\mathbf{k}_1} \widehat{b}_{\mathbf{k}_2}^\dagger \widehat{a}_{\mathbf{p}_i}^\dagger \, | \, 0 \right\rangle \\ = -i \left(k_2^\mu + k_1^\mu \right) e^{i(k_1 - k_2) \cdot x} \left\langle 0 \, | \, \widehat{a}_{\mathbf{p}_f} \widehat{a}_{\mathbf{k}_1}^\dagger \widehat{a}_{\mathbf{k}_2} \widehat{a}_{\mathbf{p}_i}^\dagger \, | \, 0 \right\rangle \\ \text{Per finire valutiamo l'ultimo valore di aspettazione} \qquad \boxed{ \begin{aligned} \mathbf{p}_i & \neq \mathbf{p}_f \\ \widehat{a}_{\mathbf{p}_f} \widehat{b}_{\mathbf{k}_1} \widehat{b}_{\mathbf{k}_2}^\dagger \widehat{a}_{\mathbf{p}_i}^\dagger \widehat{a}_{\mathbf{p}_f} \widehat{a}_{\mathbf{p}_f$$

• Per finire valutiamo l'ultimo valore di aspettazione

$$\begin{split} & \left\langle 0 \mid \widehat{a}_{\mathbf{p}_{f}}\widehat{a}_{\mathbf{k}_{1}}^{\dagger}\widehat{a}_{\mathbf{k}_{2}}\widehat{a}_{\mathbf{p}_{i}}^{\dagger} \mid 0 \right\rangle = (2\pi)^{3} \, \delta \left(\mathbf{k}_{2} - \mathbf{p}_{i}\right) \left\langle 0 \mid \widehat{a}_{\mathbf{p}_{f}}\widehat{a}_{\mathbf{k}_{1}}^{\dagger} \mid 0 \right\rangle + \underbrace{\left\langle 0 \mid \widehat{a}_{\mathbf{p}_{f}}\widehat{a}_{\mathbf{k}_{1}}^{\dagger} a_{\mathbf{p}_{i}}^{\dagger}\widehat{a}_{\mathbf{k}_{2}} \mid 0 \right\rangle}_{\widehat{a}_{\mathbf{k}_{2}} = \widehat{a}_{\mathbf{p}_{i}}^{\dagger}\widehat{a}_{\mathbf{k}_{2}} + (2\pi)^{3} \, \delta \left(\mathbf{k}_{2} - \mathbf{p}_{i}\right) \right] \\ & \widehat{a}_{\mathbf{k}_{2}}^{\dagger} |0\rangle = 0 \end{split}$$

$$(2\pi)^{3} \, \delta \left(\mathbf{k}_{2} - \mathbf{p}_{i}\right) \left\langle 0 \mid \widehat{a}_{\mathbf{p}_{f}}\widehat{a}_{\mathbf{k}_{1}}^{\dagger} \mid 0 \right\rangle = (2\pi)^{3} \, \delta \left(\mathbf{k}_{2} - \mathbf{p}_{i}\right) \left\langle 0 \mid \widehat{a}_{\mathbf{k}_{1}}^{\dagger}\widehat{a}_{\mathbf{p}_{f}} \mid 0 \right\rangle + (2\pi)^{6} \, \delta \left(\mathbf{k}_{2} - \mathbf{p}_{i}\right) \delta \left(\mathbf{k}_{1} - \mathbf{p}_{f}\right) \\ & \widehat{a}_{\mathbf{p}_{f}} \mid 0\rangle = 0 \end{split}$$

$$\left\langle f \mid A \mid i \rangle = -i \left(2\pi\right)^{6} \left(k_{2}^{\mu} + k_{1}^{\mu}\right) e^{i(k_{1} - k_{2}) \cdot x} \delta \left(\mathbf{k}_{2} - \mathbf{p}_{i}\right) \delta \left(\mathbf{k}_{1} - \mathbf{p}_{f}\right) \right\}$$

L'elemento di matrice della corrente j^{μ}

Riepilogando

$$\left\langle f\mid\widehat{j}^{\mu}\left(x\right)\mid i\right\rangle =ie\int\frac{d^{3}\mathbf{k_{1}}}{\left(2\pi\right)^{3}\sqrt{2E_{\mathbf{k_{1}}}}}\frac{d^{3}\mathbf{k_{2}}}{\left(2\pi\right)^{3}\sqrt{2E_{\mathbf{k_{2}}}}}\sqrt{2E_{\mathbf{p}_{i}}}2E_{\mathbf{p}_{f}}}\left\langle f\mid A\mid i\right\rangle =ie\int\frac{d^{3}\mathbf{k_{1}}}{\left(2\pi\right)^{3}\sqrt{2E_{\mathbf{k_{1}}}}}}\frac{d^{3}\mathbf{k_{2}}}{\left(2\pi\right)^{3}\sqrt{2E_{\mathbf{k_{2}}}}}\sqrt{2E_{\mathbf{p}_{i}}}2E_{\mathbf{p}_{i}}}\left\langle f\mid A\mid i\right\rangle =ie\int\frac{d^{3}\mathbf{k_{1}}}{\left(2\pi\right)^{3}\sqrt{2E_{\mathbf{k_{1}}}}}}\frac{d^{3}\mathbf{k_{2}}}{\left(2\pi\right)^{3}\sqrt{2E_{\mathbf{k_{2}}}}}\sqrt{2E_{\mathbf{p}_{i}}}2E_{\mathbf{p}_{i}}}\left\langle f\mid A\mid i\right\rangle =ie\int\frac{d^{3}\mathbf{k_{1}}}{\left(2\pi\right)^{3}\sqrt{2E_{\mathbf{k_{1}}}}}}\frac{d^{3}\mathbf{k_{2}}}{\left(2\pi\right)^{3}\sqrt{2E_{\mathbf{k_{2}}}}}\sqrt{2E_{\mathbf{k_{2}}}}\left\langle f\mid A\mid i\right\rangle =ie\int\frac{d^{3}\mathbf{k_{1}}}{\left(2\pi\right)^{3}\sqrt{2E_{\mathbf{k_{1}}}}}}\frac{d^{3}\mathbf{k_{2}}}{\left(2\pi\right)^{3}\sqrt{2E_{\mathbf{k_{2}}}}}\sqrt{2E_{\mathbf{k_{2}}}}\left\langle f\mid A\mid i\right\rangle =ie\int\frac{d^{3}\mathbf{k_{1}}}{\left(2\pi\right)^{3}\sqrt{2E_{\mathbf{k_{2}}}}}\frac{d^{3}\mathbf{k_{2}}}{\left(2\pi\right)^{3}\sqrt{2E_{\mathbf{k_{2}}}}}\sqrt{2E_{\mathbf{k_{2}}}}\left\langle f\mid A\mid i\right\rangle =ie\int\frac{d^{3}\mathbf{k_{2}}}{\left(2\pi\right)^{3}\sqrt{2E_{\mathbf{k_{2}}}}}\sqrt{2E_{\mathbf{k_{2}}}}\sqrt{2E_{\mathbf{k_{2}}}}\sqrt{2E_{\mathbf{k_{2}}}}\left\langle f\mid A\mid i\right\rangle =ie\int\frac{d^{3}\mathbf{k_{2}}}{\left(2\pi\right)^{3}\sqrt{2E_{\mathbf{k_{2}}}}}\sqrt{2E_{\mathbf{k_{2}}}}\sqrt{2E_{\mathbf$$

 $\begin{array}{c} \left\langle f\left|A\right|i\right\rangle = -i\big(2\pi\big)^{6}\left(k_{2}^{\mu} + k_{1}^{\mu}\right)e^{i\left(k_{1}-k_{2}\right)\cdot x}\delta\left(\mathbf{k}_{2} - \mathbf{p}_{i}\right)\delta\left(\mathbf{k}_{1} - \mathbf{p}_{f}\right)\\ \hline \left\langle f\mid\widehat{j}^{\mu}\left(x\right)\mid i\right\rangle = e\big(p_{i}^{\mu} + p_{f}^{\mu}\big)e^{i\left(p_{f}-p_{i}\right)\cdot x} \end{array} \right| \end{array}$

$$\left\langle f\mid\widehat{j}^{\mu}\left(x\right)\mid i\right
angle =e\left(p_{i}^{\mu}+p_{f}^{\mu}\right)e^{i\left(p_{f}-p_{i}\right)\cdot x}$$

ullet Possiamo calcolare l'elemento della matrice S

$$S_{\mathit{fi}} = \delta_{\mathit{fi}} - i \int \left\langle f \mid \widehat{j}^{\,\mu} \left(x\right) \mid i \right\rangle A_{\mu} \left(x\right) d^4x$$

- Confrontando con la definizione di ${\cal A}_{fi}$ $S_{fi}=\delta_{fi}+{\cal A}_{fi}$
 - Otteniamo

$$\mathcal{A}_{\!f\!i} = -i\!\int\!\left\langle f\mid\widehat{j}^{\,\mu}\left(x\right)\mid i\right\rangle\!A_{\!\mu}\left(x\right)d^4x \; = -ie\!\left(\,p_i^{\,\mu}\,+\,p_f^{\,\mu}\,\right)\!\int e^{i\left(\,p_f-p_i\,\right)\cdot x}A_{\!\mu}\left(x\right)d^4x$$

 Abbiamo ritrovato il risultato ottenuto con la meccanica quantistica relativistica (slide 96)

$$M_{\it fi} = ie ig(p_i^\mu + p_f^\mu ig) \int d^4 x \, e^{-i ig(p_i - p_f ig) \cdot x} A_\mu \, (x)$$

· Nel calcolo precedente abbiamo utilizzato l'Hamiltoniana d'interazione

$$\widehat{\mathcal{H}}' = \widehat{j}^{\mu} \widehat{A}_{\mu}$$
 $\widehat{H}'(t) = \int \widehat{\mathcal{H}}'(x) d^3 \mathbf{r}$

- Nel calcolo abbiamo considerato il potenziale A^{μ} un campo classico noto
 - Abbiamo trattato il più semplice problema dello scattering da potenziale
- ullet Consideriamo adesso il caso in cui il campo A^{μ} sia quantizzato
 - In questo caso i processi che possono essere descritti dall'approssimazione al primo ordine devono contenere un fotone nello stato iniziale o nello stato finale $p_f = p_f$
 - Ad esempio la particella emette (oppure assorbe) un fotone
 - · Lo stato iniziale contiene un elettrone
 - Lo stato finale contiene un elettrone e un fotone
 - · L'elemento di matrice è

$$\langle i | \hat{\mathcal{H}}' | f \rangle = \langle 0 | \hat{a}_{\mathbf{p}_i, s_i} \hat{j}^{\mu} \hat{A}_{\mu} \hat{a}_{\mathbf{p}_f, s_f}^{\dagger} \hat{a}_{\mathbf{q}_f, \lambda}^{\dagger} | 0 \rangle$$

- Gli operatori j_μ e A_μ contengono gli opportuni operatori di creazione e distruzione tali che l'elemento di matrice sia diverso da zero
 - · Senza un fotone nello stato finale l'elemento di matrice sarebbe nullo
 - · Analogamente senza gli elettroni negli stati iniziale e finale

 Ad esempio senza un fotone nello stato finale (o iniziale) l'elemento di matrice sarebbe

$$\left\langle 0\mid\widehat{a}_{\mathbf{p}_{f}}\widehat{j}^{\mu}\widehat{A}_{\mu}\widehat{a}_{\mathbf{p}_{i}}^{\dagger}\mid0
ight
angle$$

• Ricordiamo la sviluppo di A^{μ}

$$\widehat{A}^{\mu}\left(x\right) = \sum_{\lambda=1,2} \int \frac{d^{3}\mathbf{k}}{\left(2\pi\right)^{3} \sqrt{2\left|\mathbf{k}\right|}} \left(\varepsilon_{\mathbf{k},\lambda}^{\mu} \widehat{c}_{\mathbf{k},\lambda} e^{-ik\cdot x} + \varepsilon_{\mathbf{k},\lambda}^{\mu^{*}} \widehat{c}_{\mathbf{k},\lambda}^{\dagger} e^{ik\cdot x}\right)$$

- Sviluppando l'elemento di matrice come abbiamo fatto per lo scattering da potenziale
 - ullet Gli operatori c possono essere portati a destra e danno contributo nullo
 - ullet Gli operatori c^\dagger possono essere portati a sinistra e danno contributo nullo
- Concludiamo pertanto che se lo stato iniziale o finale non contengono un fotone l'elemento di matrice è nullo

- Tuttavia il processo appena descritto non è cinematicamente permesso
 - Infatti, se la particella iniziale e finale coincidono il processo con un fotone reale non è possibile perchè violerebbe la conservazione del 4-momento

$$p_i = p_f \pm q$$

- ullet Il segno \pm si riferisce alla emissione o all'assorbimento di un fotone rispettivamente
- Elevando al quadrato ambo i membri (ricordiamo che per un fotone reale si ha $q^2=0
 ight)$

$$m^2 = m^2 \pm p \cdot q \qquad \qquad \qquad \boxed{p_f \cdot q = 0}$$

• Sviluppando il prodotto scalare nel sistema di riposo dell'elettrone finale $(p_{\it f})$ abbiamo pertanto

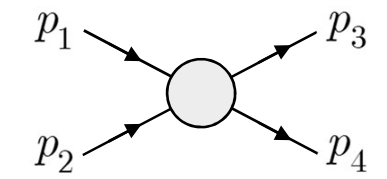
$$mE_q = 0 E_q = |\mathbf{q}| = 0$$

- Vediamo pertanto che la reazione in esame è possibile solo per un fotone reale di energia nulla
 - Notiamo, tuttavia, che sarebbe possibile per un fotone virtuale $(q^2 \neq 0)$

• Concludiamo che il primo termine non nullo dello sviluppo perturbativo è del secondo ordine

$$\left|\widehat{S} = \widehat{1} - \frac{1}{2} \iint d^4x_1 d^4x_2 T \left[\widehat{\mathcal{H}}_I' \left(x_1 \right) \widehat{\mathcal{H}}_I' \left(x_2 \right) \right] \right| \qquad \widehat{\mathcal{H}}_I' = \widehat{j}^{\,\mu} \widehat{A}_{\mu}$$

• Nel calcolo dell'elemento di matrice per un processo



· Abbiamo i seguenti stati iniziale e finale

$$|i\rangle = \left|\mathbf{p}_{1}, \mathbf{p}_{2}\right\rangle = \widehat{a}_{\mathbf{p}_{1}}^{\dagger} \widehat{a}_{\mathbf{p}_{2}}^{\dagger} |0\rangle \qquad \qquad |f\rangle = \left|\mathbf{p}_{3}, \mathbf{p}_{4}\right\rangle = \widehat{a}_{\mathbf{p}_{3}}^{\dagger} \widehat{a}_{\mathbf{p}_{4}}^{\dagger} |0\rangle$$

· Dobbiamo pertanto calcolare

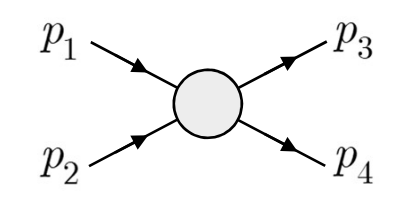
$$\langle 0 \mid \widehat{a}_{\mathbf{p}_{3}}\widehat{a}_{\mathbf{p}_{4}}T \left[\hat{\mathcal{H}}'_{I}(x_{1}) \hat{\mathcal{H}}'_{I}(x_{2}) \right] \widehat{a}_{\mathbf{p}_{1}}^{\dagger} \widehat{a}_{\mathbf{p}_{2}}^{\dagger} \mid 0 \rangle$$

• In forma più estesa

$$\left\langle 0\mid\widehat{a}_{\mathbf{p}_{3}}\widehat{a}_{\mathbf{p}_{4}}T\left[\,\widehat{j}^{\,\mu}\left(\,x_{1}\,\right)\widehat{A}_{\!\mu}\left(\,x_{1}\,\right)\widehat{j}^{\,\mu}\left(\,x_{2}\,\right)\widehat{A}_{\!\mu}\left(\,x_{2}\,\right)\right]\widehat{a}_{\mathbf{p}_{1}}^{\dagger}\widehat{a}_{\mathbf{p}_{2}}^{\dagger}\,\mid0\right\rangle$$

Non calcoleremo in dettaglio l'elemento di matrice

$$\left\langle 0\mid\widehat{a}_{\mathbf{p}_{3}}\widehat{a}_{\mathbf{p}_{4}}T\left[\widehat{j}^{\mu}\left(x_{1}\right)\widehat{A}_{\mu}\left(x_{1}\right)\widehat{j}^{\nu}\left(x_{2}\right)\widehat{A}_{\nu}\left(x_{2}\right)\right]\widehat{a}_{\mathbf{p}_{1}}^{\dagger}\widehat{a}_{\mathbf{p}_{2}}^{\dagger}\mid0\right\rangle$$



- Faremo delle considerazioni generali
- Innanzitutto, dal momento che i campi del fotone e dei fermioni commutano $\left[\widehat{A}^{\mu},\widehat{j}^{\nu}\right]=0$

$$T\left[\left.\widehat{j}^{\,\mu}\left(\left.x_{1}\right.\right)\widehat{A}_{\mu}\left(\left.x_{1}\right.\right)\widehat{j}^{\,\nu}\left(\left.x_{2}\right.\right)\widehat{A}_{\nu}\left(\left.x_{2}\right.\right)\right]=T\left[\left.\widehat{j}^{\,\mu}\left(\left.x_{1}\right.\right)\widehat{j}^{\,\nu}\left(\left.x_{2}\right.\right)\right]T\left[\left.\widehat{A}_{\mu}\left(\left.x_{1}\right.\right)\widehat{A}_{\nu}\left(\left.x_{2}\right.\right)\right]$$

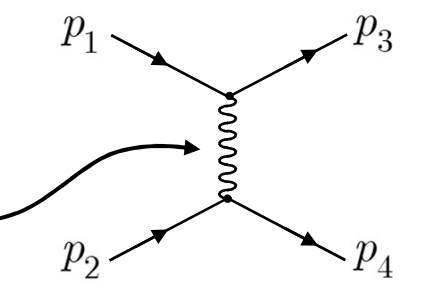
- Nel caso del processo che stiamo esaminando non ci sono fotoni negli stati iniziale e finale
 - I campi fotonici agiscono direttamente sugli stati di vuoto
 - Possiamo pertanto fattorizzare l'elemento di matrice

$$\left\langle 0\mid\widehat{a}_{\mathbf{p}_{3}}\widehat{a}_{\mathbf{p}_{4}}T\left[\widehat{j}^{\mu}\left(x_{1}\right)\widehat{j}^{\nu}\left(x_{2}\right)\right]\widehat{a}_{\mathbf{p}_{1}}^{\dagger}\widehat{a}_{\mathbf{p}_{2}}^{\dagger}\mid0\right\rangle \!\!\left\langle 0\mid T\!\left[\widehat{A}_{\mu}\left(x_{1}\right)\widehat{A}_{\nu}\left(x_{2}\right)\right]\mid0\right\rangle$$

• Si definisce propagatore fotonico l'espressione

$$D_{\mu\nu}\left(x_{1},x_{2}\right)=i\left\langle 0\mid T\left[\widehat{A}_{\mu}\left(x_{1}\right)\widehat{A}_{\nu}\left(x_{2}\right)\right]\mid 0\right\rangle$$

· Graficamente viene rappresentato come in figura



- Si può dimostrare che
 - ullet Il propagatore dipende solo dalla differenza delle coordinate x_1 e x_2

$$D_{\mu\nu}(x_1, x_2) = D_{\mu\nu}(x_1 - x_2)$$

• Il propagatore è la funzione di Green dell'equazione del campo elettromagnetico (equazione dell'onda elettromagnetica)

$$\Box D_{\mu\nu} (x_1 - x_2) = g_{\mu\nu} \delta^4 (x_1 - x_2)$$

• La forma esplicita

$$D_{\mu\nu}(x-x') = \frac{1}{4\pi} \frac{g_{\mu\nu}}{|\mathbf{r}-\mathbf{r'}|} \delta \left[c \left(t - t' - \frac{|\mathbf{r}-\mathbf{r'}|}{c} \right) \right]$$

· La sua trasformata di Fourier è

$$\widetilde{D}_{\mu\nu}\left(q\right) = -\frac{g_{\mu\nu}}{q^2}$$

Ritorneremo presto sul propagatore

Consideriamo adesso la parte dell'elemento di matrice relativa ai fermioni

$$\left\langle 0 \mid \widehat{a}_{\mathbf{p}_{3}}\widehat{a}_{\mathbf{p}_{4}}T\left[\widehat{j}^{\mu}\left(x_{1}\right)\widehat{j}^{\nu}\left(x_{2}\right)\right]\widehat{a}_{\mathbf{p}_{1}}^{\dagger}\widehat{a}_{\mathbf{p}_{2}}^{\dagger} \mid 0\right\rangle$$

- Occorrerebbe trattare attentamente l'eventualità di particelle identiche
- Per questi calcoli sono state messe a punto tecniche molto efficaci
 - In particolare
 - Contrazione di operatori di campo
 - Teorema di Wick
 - Regole di Feynman
 - Ai nostri fini diciamo che per particelle non identiche (esempio scattering elettrone – protone) l'elemento di matrice si fattorizza in due pezzi

$$\langle 0 \mid \widehat{a}_{\mathbf{p}_{3}}\widehat{j}^{\mu}(x_{1})\widehat{a}_{\mathbf{p}_{1}}^{\dagger} \mid 0 \rangle \langle 0 \mid \widehat{a}_{\mathbf{p}_{4}}\widehat{j}^{\nu}(x_{2})\widehat{a}_{\mathbf{p}_{2}}^{\dagger} \mid 0 \rangle$$

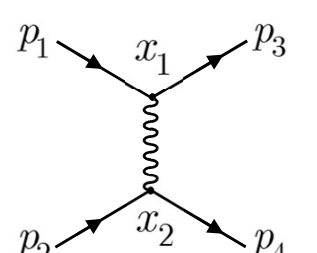
• Infine (faremo il calcolo in seguito)

$$\begin{split} \left\langle 0 \mid \widehat{a}_{\mathbf{p}_{3}}\widehat{j}^{\mu}\left(x_{1}\right)\widehat{a}_{\mathbf{p}_{1}}^{\dagger} \mid 0 \right\rangle &= -e\overline{u}_{\mathbf{p}_{3},s_{3}}\gamma^{\mu}u_{\mathbf{p}_{1},s_{1}}e^{-i\left(p_{1}-p_{3}\right)\cdot x_{1}} \\ \left\langle 0 \mid \widehat{a}_{\mathbf{p}_{4}}\widehat{j}^{\nu}\left(x_{2}\right)\widehat{a}_{\mathbf{p}_{2}}^{\dagger} \mid 0 \right\rangle &= -e\overline{u}_{\mathbf{p}_{4},s_{4}}\gamma^{\nu}u_{\mathbf{p}_{2},s_{2}}e^{-i\left(p_{2}-p_{4}\right)\cdot x_{2}} \end{split}$$

 Notiamo che abbiamo ritrovato la forma delle correnti di transizione dell'equazione di Dirac

ullet Ricordiamo l'espressione per la matrice S al secondo ordine

$$\widehat{S} = 1 - \frac{1}{2} \int \int d^4x_1 d^4x_2 T \left[\hat{\mathcal{H}}'_I(x_1) \hat{\mathcal{H}}'_I(x_2) \right]$$



- Occorre integrare su \emph{x}_{1} e \emph{x}_{2} $S_{\mathit{fi}} = \delta_{\mathit{fi}} + \mathcal{A}_{\mathit{fi}}$
- Inoltre

$$S_{fi} = \delta_{fi} + \mathcal{A}_{fi}$$

- Pertanto $\mathcal{A}_{fi} = -\frac{1}{2} \int d^4x_1 \, d^4x_2 \, j_1^{\mu} \left(x_1 \right) D_{\mu\nu} \left(x_1 x_2 \right) j_2^{\nu} \left(x_2 \right)$
 - La corrente $j_1(x_1)$ inféragisce con A_μ nel punto dello spazio-tempo x_1
 - Il propagatore $D_{\mu
 u}(x_1\!-\!x_2)$ propaga l'interazione da x_1 a x_2
 - La corrente $j_2(x_2)$ interagisce con A_μ nel punto dello spazio tempo x_2
- · Passiamo nello spazio dei momenti
 - Facciamo un cambio di variabile $x_1-x_2=z$ $x_2=x_1-z$ $dx_2=-dz$

$$x_1 = x$$
 $A_{fi} = \frac{1}{2} \int d^4x \, d^4z \, j_1^{\mu} (x) D_{\mu\nu} (z) j_2^{\nu} (x - z)$

• Ricordiamo il risultato trovato per gli elementi di matrice delle correnti

$$j_{1}^{\mu}\left(x_{1}\right) = -e\overline{u}_{\mathbf{p}_{3},s_{3}}\gamma^{\mu}u_{\mathbf{p}_{1},s_{1}}e^{-i\left(p_{1}-p_{3}\right)\cdot x_{1}} \qquad \qquad j_{2}^{\nu}\left(x_{2}\right) = -e\overline{u}_{\mathbf{p}_{4},s_{4}}\gamma^{\nu}u_{\mathbf{p}_{2},s_{2}}e^{-i\left(p_{2}-p_{4}\right)\cdot x_{2}}$$

• Otteniamo $(u_{plpha.slpha} o u_lpha,\,lpha=1,\!2,\!3,\!4)$

$$\mathcal{A}_{\mathit{f}i} \, = \frac{1}{2} \, e^2 \overline{u}_3 \gamma^\mu u_1 \; \; \overline{u}_4 \gamma^\nu u_2 \int d^4 x \, d^4 z e^{-i \left(\, p_1 - p_3 \, \right) \cdot x} \, D_{\mu\nu} \left(\, z \, \right) e^{-i \left(\, p_2 - p_4 \, \right) \cdot \left(\, z - x \, \right)}$$

$$\mathcal{A}_{\!f\!i} \, = \frac{1}{2} e^2 \overline{u}_3 \gamma^\mu u_1 \; \, \overline{u}_4 \gamma^\nu u_2 \int d^4 x \, d^4 z e^{-i \left(\, p_1 - p_3\,\right) \cdot x} D_{\mu\nu} \left(\, z\,\right) e^{-i \left(\, p_2 - p_4\,\right) \cdot \left(\, z - x\,\right)}$$

· Otteniamo pertanto

$$M_{fi}=\frac{e^2}{2}\overline{u}_3\gamma^\mu u_1 \ \overline{u}_4\gamma^\nu u_2 \int d^4x e^{-i\left(p_1-p_3+p_2-p_4\right)\cdot x} \int d^4z D_{\mu\nu} \left(z\right) e^{-i\left(p_4-p_2\right)\cdot z}$$
 • Le parti evidenziate sono rispettivamente

- - Una funzione $\delta()$
 - La trasformata di Fourier del propagatore (o Funzione di Green)
- Abbiamo in definitiva

$$\mathcal{A}_{fi} = \frac{e^2}{2} \overline{u}_3 \gamma^{\mu} u_1 \ \overline{u}_4 \gamma^{\nu} u_2 \left(2\pi\right)^4 \delta\left(p_1 - p_3 + p_2 - p_4\right) \widetilde{D}_{\mu\nu}\left(q\right)$$

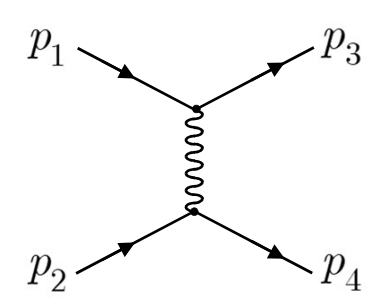
- Abbiamo definito il 4-momento trasferito $q=p_{\scriptscriptstyle 1}-p_{\scriptscriptstyle 3}=p_{\scriptscriptstyle 4}-p_{\scriptscriptstyle 2}$
- Inoltre ricordiamo che

$$\widetilde{D}_{\mu\nu}(q) = -\frac{g_{\mu\nu}}{q^2}$$

$$\widetilde{D}_{\mu\nu}(q) = -rac{g_{\mu
u}}{q^2} \qquad \mathcal{A}_{fi} = i(2\pi)^4 \, \delta^4(p_1 + p_2 - p_3 + p_4) \mathfrak{M}_{fi}$$

• Per finire

$$\mathfrak{M}_{fi} = -i\frac{e^2}{2}\overline{u}_3\gamma^{\mu}u_1\frac{g_{\mu\nu}}{q^2}\overline{u}_4\gamma^{\nu}u_2$$

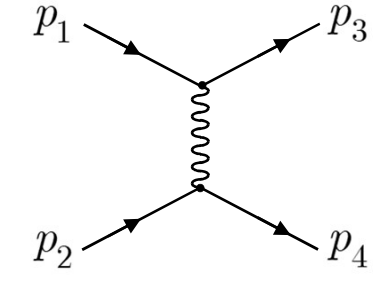


Regole di Feynman

- Diamo le regole di Feynman per l'ordine perturbativo più basso
 - Il cosiddetto tree-level (livello d'albero)
 - Non ci sono loop



• Le linee esterne corrispondono alle particelle negli stati iniziale e finale (particelle reali)



- Le linee interne corrispondono a stati virtuali tramite i quali descriviamo l'interazione (particelle virtuali, propagatori)
- ullet Per ogni elemento occorre introdurre un fattore (funzione) nella ampiezza $-i\mathfrak{M}$

Sezione d'urto $e^- \ \mu^- ightarrow e^- \ \mu^-$

- Calcoliamo adesso la sezione d'urto del processo $e^ \mu^- o e^ \mu^-$ utilizzando le $u\left(p_{1}\right)p_{1} \stackrel{ie\gamma^{\mu}}{=} p_{3} \overline{u}\left(p_{3}\right)$ $\frac{-ig_{\mu\nu}}{q^{2}} \stackrel{\text{Re}}{=} \left(p_{3}-p_{1}\right)^{2}$ $u\left(p_{2}\right)p_{2} \stackrel{ie\gamma^{\nu}}{=} p_{4} \overline{u}\left(p_{4}\right)$ regole di Feynman
 - Il diagramma di Feynman del processo è
 - Abbiamo due fermioni entranti
 - Abbiamo due fermioni uscenti
 - Ci sono due vertici fermione fotone
 - C'è un propagatore fotonico
 - L'ampiezza invariante è

$$-i\mathfrak{M}\,=\,\overline{u}_{3}\,(\,ie\gamma^{\mu}\,)\,u_{1}\,\frac{-ig_{\mu\nu}}{g^{2}}\,\overline{u}_{4}\,(\,ie\gamma^{\nu}\,)\,u_{2}$$

- $\mathfrak{M} = -e^2 \overline{u}_3 \gamma^{\mu} u_1 \frac{1}{g^2} \overline{u}_4 \gamma_{\nu} u_2$
- Se fosse $e^- \ e^-
 ightarrow e^- \ e^-$ ci sarebbero 2 diagrammi
 - Con p_3 e p_4 scambiati (e un segno meno relativo)
- Per il calcolo di $|\mathfrak{M}|^2$ si utilizzano le tecniche di tracce delle matrici γ sviluppate precedentemente
 - In particolare sappiamo che le due correnti portano ai due tensori

$$L_e^{\alpha\beta} = \frac{1}{2} Tr \left[\left(\not \! p_3 + m_e \right) \gamma^{\alpha} \left(\not \! p_1 + m_e \right) \gamma^{\beta} \right] \qquad L_{\mu}^{\alpha\beta} = \frac{1}{2} Tr \left[\left(\not \! p_4 + m_{\mu} \right) \gamma^{\alpha} \left(\not \! p_2 + m_{\mu} \right) \gamma^{\beta} \right]$$

Sezione d'urto $e^-~\mu^ightarrow e^-~\mu^-$

• Il calcolo dei due tensori dà (vedi diapositiva 116)

$$L_e^{\alpha\beta} = 2 \left[p_3^{\alpha} p_1^{\beta} + p_1^{\alpha} p_3^{\beta} - \left(p_1 \cdot p_3 - m_e^2 \right) g^{\alpha\beta} \right]$$

$$L_{\mu}^{\alpha\beta} = 2 \left[p_4^{\alpha} p_2^{\beta} + p_2^{\alpha} p_4^{\beta} - \left(p_2 \cdot p_4 - m_{\mu}^2 \right) g^{\alpha\beta} \right]$$

• Il modulo quadrato dell'ampiezza è

$$\begin{split} \overline{|\mathfrak{M}|^2} &= \frac{e^4}{q^4} L_e^{\alpha\beta} L_{\mu,\alpha\beta} \\ &= \frac{8e^4}{q^4} \left[(p_3 \cdot p_4)(p_1 \cdot p_2) + (p_3 \cdot p_2)(p_1 \cdot p_4) - m_e^2 p_4 \cdot p_2 - m_\mu^2 p_1 \cdot p_3 + 2m_e^2 m_\mu^2 \right] \end{split}$$

• Consideriamo il limite ultra-relativistico (trascuriamo le masse)

$$\overline{|\mathfrak{M}|^2} = \frac{8e^4}{q^4} [(p_3 \cdot p_4)(p_1 \cdot p_2) + (p_3 \cdot p_2)(p_1 \cdot p_4)]$$

· Ricordiamo la formula della sezione d'urto

Spazio delle Fasi

$$d\sigma = \frac{|\mathfrak{M}|^2}{4\sqrt{(p_1 \cdot p_2)^2 - m_1^2 m_2^2}} d\Phi_n (p_1 + p_2; p_3, ..., p_{n+2})$$

• Calcoliamo adesso lo spazio delle fasi e il flusso incidente

Variabili di Mandelstam

- Consideriamo lo scattering 1+2 o 3+4
 - Ricordiamo la conservazione del 4-momento

$$p_1 + p_2 = p_3 + p_4$$

• Definiamo le variabili di Mandelstam

$$s = (p_1 + p_2)^2 = (p_3 + p_4)^2$$

 $t = (p_1 - p_2)^2 = (p_4 - p_2)^2$ u

$$t = (p_1 - p_3)^2 = (p_4 - p_2)^2$$
 $u = (p_1 - p_4)^2 = (p_3 - p_2)^2$ $q^2 = (p_3 - p_1)^2 = t$

• Specializziamo le relazioni nel centro di massa trascurando le masse delle particelle $(p^2=0,\,E^2={
m p}^2)$

$$s = 2p_{1} \cdot p_{2} = 2p_{3} \cdot p_{4} \qquad \Longrightarrow \qquad p_{1} \cdot p_{2} = p_{3} \cdot p_{4} = \frac{s}{2} = 2\mathbf{p}^{2}$$

$$t = -2p_{1} \cdot p_{3} = -2p_{2} \cdot p_{4} \qquad \Longrightarrow \qquad p_{1} \cdot p_{3} = p_{2} \cdot p_{4} = -\frac{t}{2} = \mathbf{p}^{2} \left(1 - \cos \theta^{*}\right)$$

$$u = -2p_{1} \cdot p_{4} = -2p_{2} \cdot p_{3} \qquad \Longrightarrow \qquad p_{1} \cdot p_{4} = p_{2} \cdot p_{3} = -\frac{u}{2} = \mathbf{p}^{2} \left(1 + \cos \theta^{*}\right)$$

ullet Calcoliamo l'elemento di matrice in funzione di $s,\,t,\,u$

$$\begin{aligned} \overline{\left|\mathfrak{M}\right|^{2}} &= \frac{8e^{4}}{q^{4}} \left[\left(p_{3} \cdot p_{4} \right) \left(p_{1} \cdot p_{2} \right) + \left(p_{3} \cdot p_{2} \right) \left(p_{1} \cdot p_{4} \right) \right] = \frac{8e^{4}}{t^{2}} \left[\frac{s^{2}}{4} + \frac{u^{2}}{4} \right] = 2e^{4} \frac{s^{2} + u^{2}}{t^{2}} \\ &= 2e^{4} \frac{16\mathbf{p}^{4} + 4\mathbf{p}^{4} \left(1 + \cos \theta^{*} \right)^{2}}{4\mathbf{p}^{4} \left(1 - \cos \theta^{*} \right)^{2}} = 2e^{4} \frac{16 + 16\cos^{4} \frac{\theta^{*}}{2}}{16\sin^{4} \frac{\theta^{*}}{2}} = 2e^{4} \frac{1 + \cos^{4} \frac{\theta^{*}}{2}}{\sin^{4} \frac{\theta^{*}}{2}} \end{aligned}$$

 $\mathbf{p_4}$